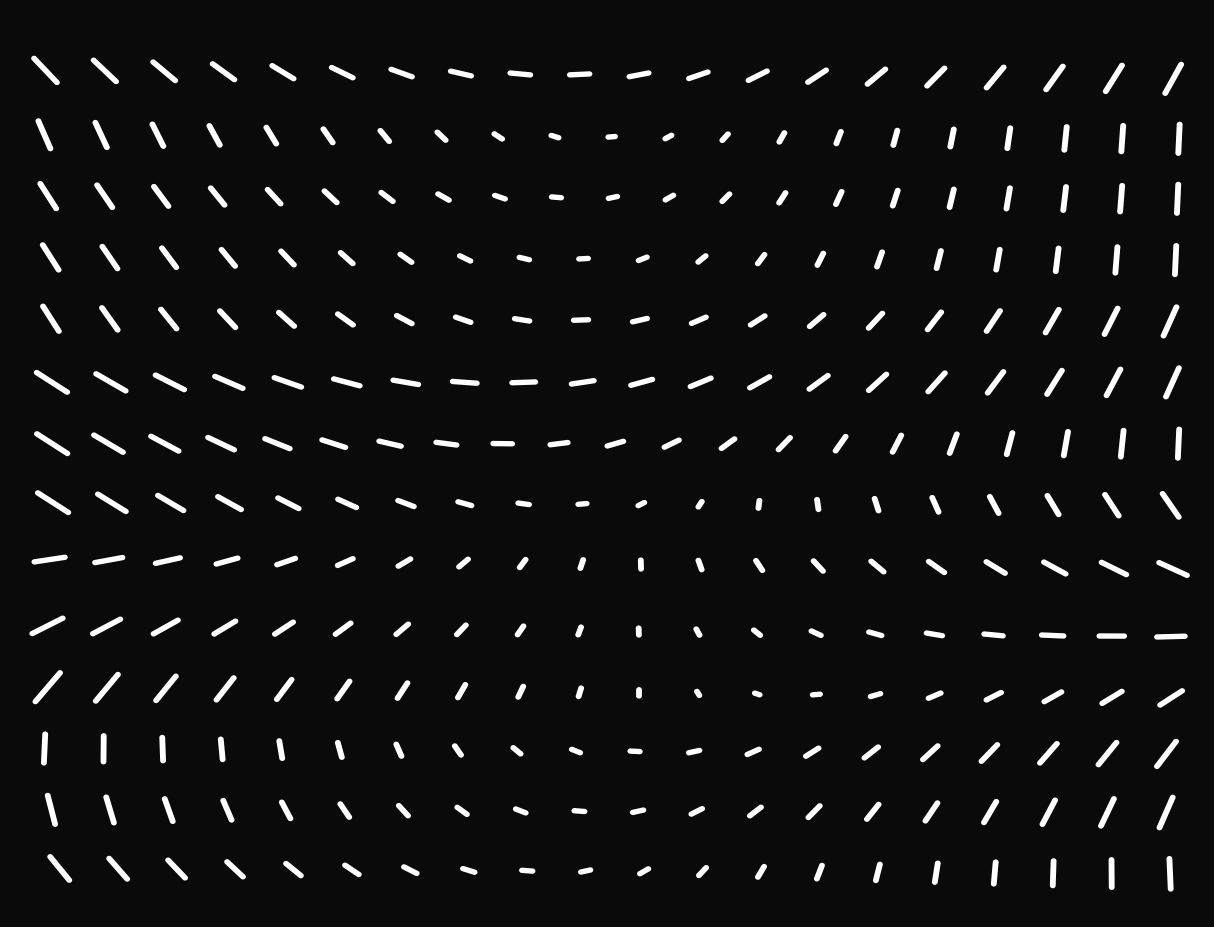
Statistische Physik Theo Fb Th. Schwetz-Mangold (KIT SS2021)

VO 14: Van der Waals Gas, Phasenübergang flüssig-gasförmig



Vou der Waals gas - Wedselwirkung zw. Gasteilchen - Phosenibergang flissig/gasformig - Kritischer Paulet •) Gas in blassischer Näherng •) WW zw. Teilden dur dr Potenzial : $\phi(|\vec{x_i} - \vec{x_j}|)$ Gesantener gie: $E = \sum_{i=1}^{p_i} \frac{p_i}{2m}$ + $\sum_{i>i} \phi(r_{ii})$ $\frac{1}{2} \sum_{i \neq j} \phi(r_{ij})$

Bsp.: demard-Jones Potenzial: $\phi_{LJ}(r) = 4 \mathcal{E} \left[\left(\frac{r_o}{r} \right)^r - \left(\frac{r_o}{r} \right)^r \right]$ Stark abstoberd
langreihweilige
An zielngr klassische N-Teilchen kanonische Zustandsseume: $Z = \frac{1}{N!} \frac{1}{(2\pi k)^{3N}} \int_{0}^{3} d\rho_{N} \int_{0}^{3} dx_{1} dx_{2} = \beta E$ $= \frac{1}{N!} \frac{1}{(2\pi k)^{3N}} \int_{0}^{3} d\rho_{N} d\rho_{N} e^{-\beta \sum_{i} \frac{1}{2\pi i}} \int_{0}^{3} -\beta \sum_{i} \phi(k_{i})$

(*) =
$$\left[\frac{1}{(2\pi k)^{2}} \int_{0}^{2} d^{2} e^{-\frac{k^{2}}{2}} \int_{0}^{N} e^{-\frac$$

langreichweitiger Anteil: $\sum_{j>i} \phi_{er}(r_{ij}) = \frac{1}{2} \sum_{i} \phi_{en}(r_{ij})$ $\approx \frac{7}{2} \sum_{i} \frac{N-1}{V} \int d^{3}x \, \phi_{e_{i}}(r)$ (N-1) - Per Samue der (N-1) Teilchenpotentiale -s erselven of. (N-1) x milleres Potenzial vg. Veissche Nähen g (VO13) $\sum_{i > i} \phi_{en}(n_{ij}) \approx \frac{1}{2} (N-1) \sum_{i} \overline{\phi}_{en} \approx \frac{N^{2}}{2} \overline{\phi}_{en} \approx -\frac{\alpha N^{2}}{V}$ uil $a \ge -\frac{1}{2} \int d^3 \phi_{er}(r)$ $\Rightarrow z_{\phi} \approx e^{\beta a N_{V}} \int dx_{N} e^{-\beta z_{i}} \phi_{kn}(r_{ij})$

kur treichweitiger Aut eil: " verbiebet dass s. Teilchen zu nahe leonnen => effectio stelet weniger Volumen zur Verfügung sei b das Volumen, dass pro Teilchen n verhoben "wird \times " Grôße d. Teilchens" $\int_{0}^{3} dx_{1} dx_{N} e^{-\beta \sum_{\bar{s}>i} \phi_{i}(R_{ij})} \approx \left[\int_{0}^{3} e^{-\beta \phi_{i}(x)} \right]^{N}$ $= [V - N6]^{N}$ Par & D in der Ungeling beines Teild.

D soust, innerhalt V => 2 = 1 1/3N (V-Nb) e pant

Drude:
$$P = -\left(\frac{\partial F}{\partial V}\right)_{T,N}$$

$$F = -kT \ln 2$$

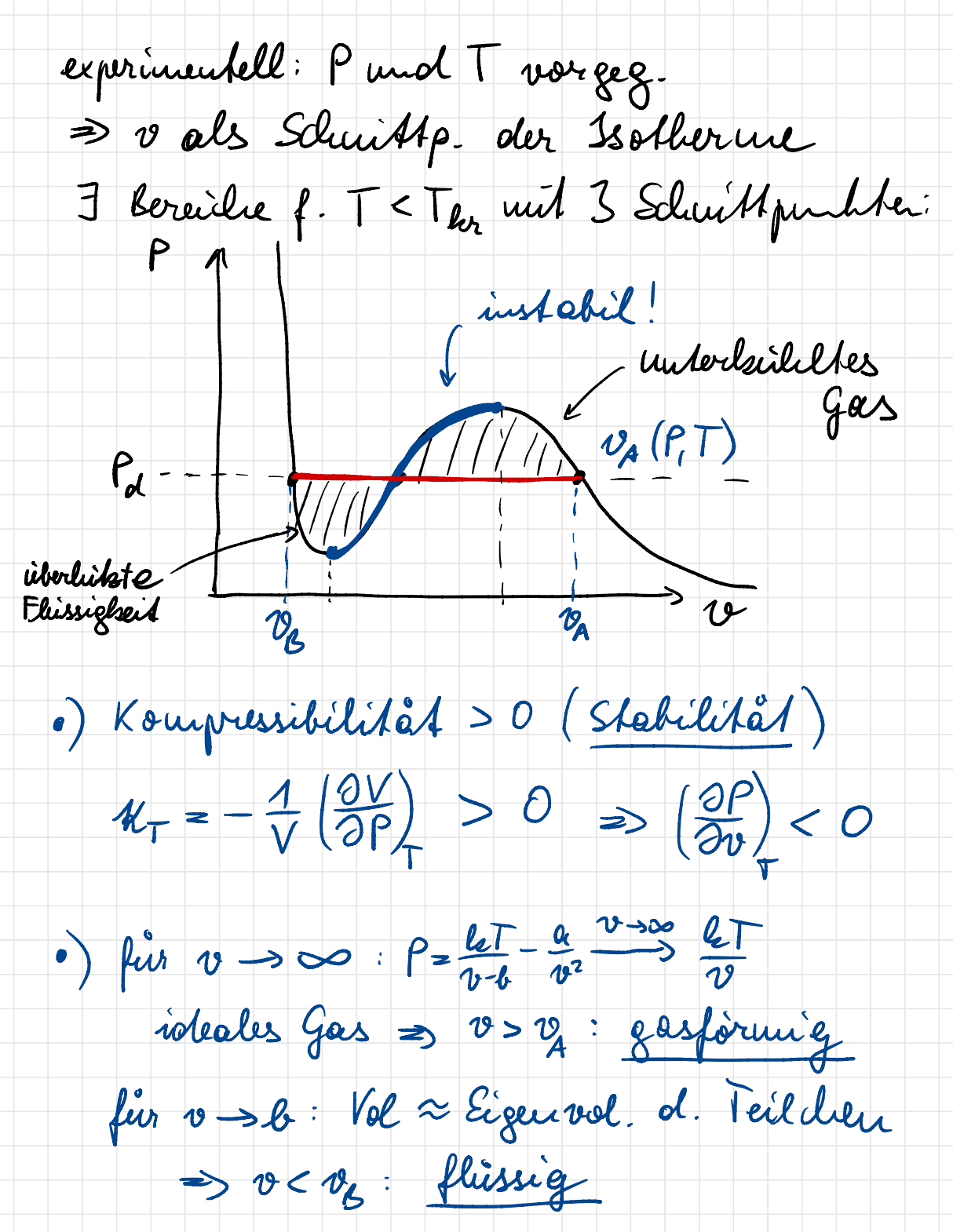
$$= -kTN \ln (V-Nb) - a \frac{N^2}{V} + kT \ln (N! \lambda^{3N})$$
(*)

P → ∞ für V → Nb

 $\Rightarrow P = \frac{kTV}{V - VB} - a \frac{V^2}{V^2}$ Van der Waals Gas

Phasembergorg flussig/gasformig

 $P(v,T) = \frac{l_e T}{v - l_e} - \frac{Q}{v^2} \qquad v = \frac{V}{N}$

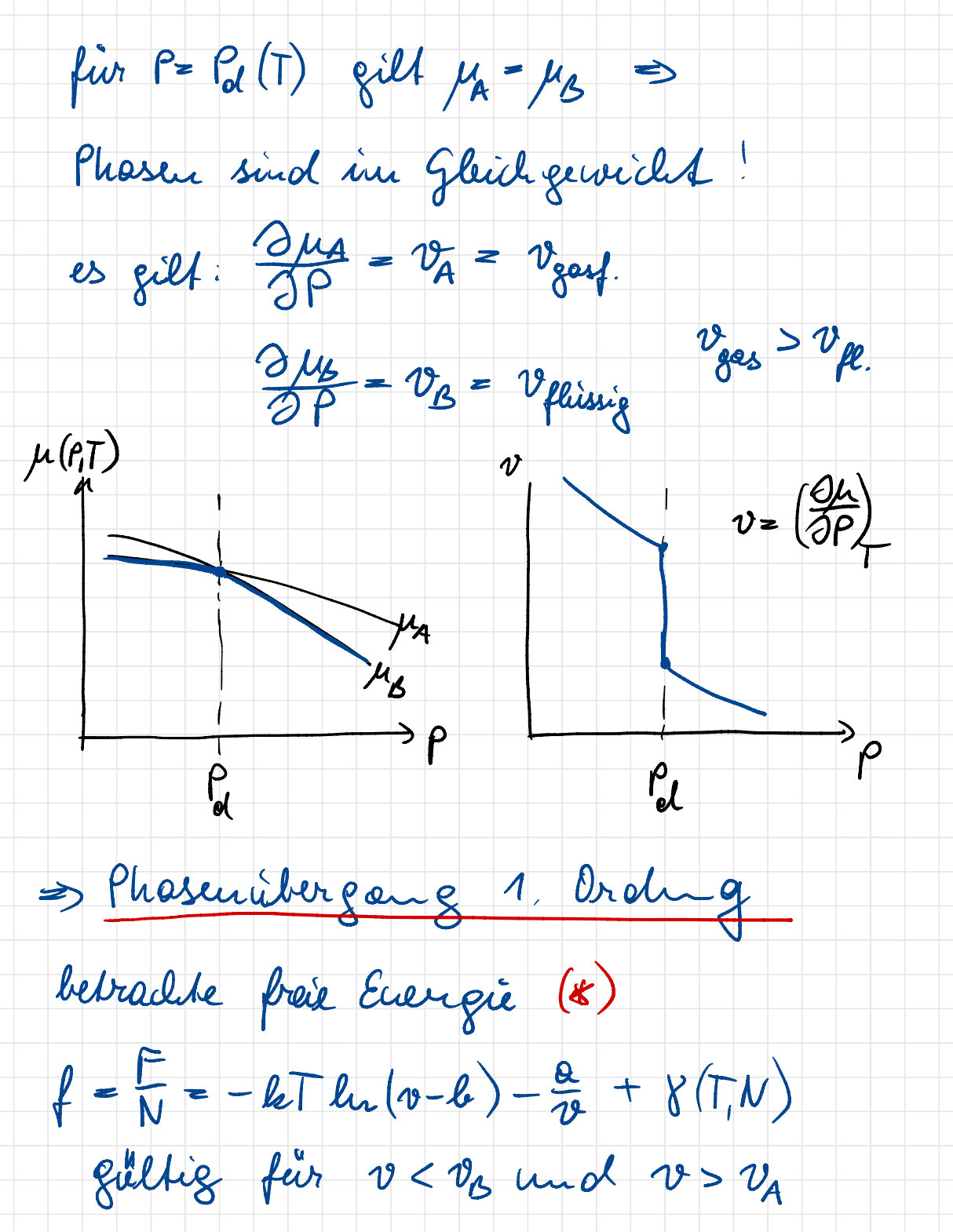


·) dreunisches Potential im Gleichgew: MA (T,P) = MB (T,P) hat genau eine dog. für P= Pd(T) allg.: $\mu = \frac{G}{N} = \frac{F}{N} + \frac{PV}{N} = f + Pv$, $f = \frac{F}{N}$ $\Rightarrow f_{B} - f_{A} = P_{d} \left(v_{A} - v_{B} \right) \quad (**)$ (*) $f_B - f_A = f(T, v_B) - f(T, v_A) = v.d.W$ = Solv 21 = Solv P(T,v)

v_A

v_B

u
Maxwellsonsbulg ⇒ Flåde unter Reddede ≥ Fl. unter Kurve
⇒ Pol und v_A, v_B einstendig bestimms



·) v < v_s, v > v_A: P = - Ot = let - a/v² e) fivr $v_{B} < v < v_{A}$: gill $P = -\frac{2f}{\partial v} = P_{ol}(T) = court$. => f(v) lineare Flet van v $\widetilde{f}(v) = \alpha f(T, v_A) + (1-\alpha) f(T, v_B)$ $\alpha = \frac{v - v_b}{v_A - v_b} \quad , \quad 0 < \alpha < 1$ $\Rightarrow P_{ol} = -\frac{2\hat{l}}{\partial v} = -\frac{1}{v_A - v_B} f_A + \frac{1}{v_A - v_B} f_B \Rightarrow (88)$ f(v) f(v) f(v)in [18, vA] gilt $\hat{f}(v) < f(r)$ >> 7(v).... vo Gleich geweicht => in [vs. v4]: flissig u. gasforunge Phasen boexistieren unt relat. Anteil a

britischer Paulst: P-T-Diagramm bei T=The gild vA = VB = Vhr => Dampfobudskurve endet!

-> leritischer Paulit reales Syst. van der Waals Gas bei T= Tear ist va= vs => v= on stelie T≥Ter: Phoseniberg, 2. Ordung

hallen: Phr = 2762 $v_{lor} = 36$, $kT_{lor} = \frac{8}{27} \frac{Q}{6}$, es gill: Per Ver = 3 = 0,375 le Ter = 8 = 0,375 a und b vgl. realen Gas = 0,23 - 0,31 v.d. W. Gas gutes Modell für libergang flirsig/gast. bzw. britischen Punhs abor: beine feste Phase => fiir tièfe Temperaturen ungelignet